# 产品•设计

# 三骨架减震衬套粘接性能的改进

何方科,胡余优,丁斌煊,李 剑 (建新赵氏科技有限公司,浙江宁海 315600)

摘要:对三骨架减震衬套粘接性能进行改进,从粘合剂种类、硫化工艺和胶料配方设计3方面进行优化。结果表明,选用底涂粘合剂TH-P6、面涂粘合剂TH-OSN-2,采用炭黑N330胶料配方,确定最佳硫化工艺为注胶压力 21 MPa、硫化温度 155 ℃、硫化时间 500 s,制得的三骨架减震衬套具有良好的粘接性能。

关键词:三骨架;减震衬套;粘接性能;粘合剂;硫化工艺;胶料配方

中图分类号:TQ336.4+2

文献标志码:A

文章编号:1000-890X(2023)01-0051-05

DOI: 10. 12136/j. issn. 1000-890X. 2023. 01. 0051

OSID开放科学标识码

随着橡胶工业的不断发展,采用橡胶作为原材料的汽车零部件越来越多,为保障车辆行驶安全,对汽车零部件中橡胶与金属粘接性能的要求越来越高<sup>[1-2]</sup>。近些年对橡胶减震衬套粘接性能进行了大量的研究,现已取得了很好的质量控制效果<sup>[3-10]</sup>。但随着产品结构层出不穷,新的三骨架减震衬套<sup>[11]</sup>因中间套外壁橡胶比较薄,在橡胶剥离试验中粘接面附胶率较低。

本工作从粘合剂种类、硫化工艺和橡胶配方设计3方面入手对三骨架减震衬套(以下简称减震衬套)的粘接性能进行改进,以获得具有良好粘接性能的减震衬套产品。

#### 1 实验

#### 1.1 主要原材料

底涂粘合剂,牌号TH-P6,美国杜邦公司产品;牌号CH205,洛德化学(上海)有限公司产品。面涂粘合剂,牌号TH-OSN-2,MEGUM538和THIXON-520,美国杜邦公司产品;牌号CH6411,CH6108和CH233X,洛德化学(上海)有限公司产品。

### 1.2 天然橡胶(NR)胶料配方

1<sup>#</sup>配方:NR(3<sup>#</sup>标准胶,下同) 100,炭黑N330 40,氧化锌 5,硬脂酸 2,芳烃油 5,防老剂 4,石蜡 2,硫黄 2,促进剂 1,其他 5。

2<sup>#</sup>配方:NR 100,炭黑N550 48,氧化锌 5,硬脂酸 2,芳烃油 7,防老剂 4,石蜡 2,硫 黄 2,促进剂 1.其他 5。

3<sup>#</sup>配方:NR 100,快压出炭黑N550 30,炭 黑N774 25,氧化锌 5,硬脂酸 2,芳烃油 8, 防老剂 4,石蜡 2,硫黄 2,促进剂 1,其他 5。

#### 1.3 主要设备和仪器

Sigma 100型注射成型硫化机,德国Desma公司产品;TY801-120型衬套压缩机,宁波天誉机械有限公司产品;GT-7001-LS30型万能材料试验机,高铁检测仪器(东莞)有限公司产品。

#### 1.4 试样制备

#### 1.4.1 骨架

减震衬套骨架由内芯、中间套、外套3部分组成,骨架是铝基材,结构如图1所示。

骨架表面处理工艺为:内芯、中间套、外套→ 预脱脂→抛丸→清洗→涂底胶→烘干→涂面胶→

作者简介:何方科(1987—),男,浙江宁波人,建新赵氏科技有限公司工程师,硕士,主要从事橡胶减震制品骨架表面处理及胶粘剂选型的研究工作。

E-mail: hefangke@126. com

引用本文:何方科,胡余优,丁斌煊,等.三骨架减震衬套粘接性能的改进[J].橡胶工业,2023,70(1):51-55.

Citation: HE Fangke, HU Yuyou, DING Binxuan, et al. Improvement on bonding property of three frame shock absorption bushing[J]. China Rubber Industry, 2023, 70(1):51-55.

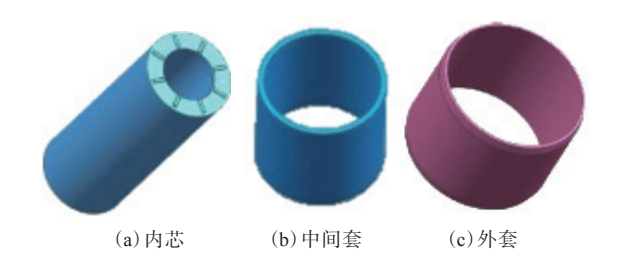


图1 骨架结构 Fig. 1 Skeleton structures

烘干→待硫化。

# 1.4.2 产品硫化

使用Sigma 100型注射成型硫化机进行减震 衬套硫化,采用一出一模具。

# 1.4.3 产品缩径

使用缩径机将成型后的减震衬套直径从40 mm缩减到38 mm,缩径后的减震衬套存放24 h后进行压脱测试。

#### 1.5 性能测试

采用ASTM D429《橡胶特性 与硬质基质的粘

合性的标准试验方法》方法B——90°剥离测试采用粘合剂粘接的橡胶与硬质基材剥离粘接面的附胶率。

采用大众汽车标准PV 3378方法A进行减震衬套的粘接破坏测试。

#### 2 结果与讨论

#### 2.1 粘合剂种类的初步选择

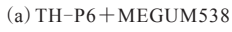
根据产品图纸要求,将1<sup>#</sup>配方作为调试的主配方。橡胶剥离后铝基材粘接面的附胶率如表1所示,铝基材粘接面如图2所示。

表1 橡胶剥离后铝基材粘接面的附胶率

Tab. 1 Adhesion rates of bonding surfaces of aluminum substrate after rubber peeling

粘合剂组合	1	2	3	平均值
TH-P6+MEGUM538	100	100	100	100
TH-P6+TH-OSN-2	100	100	100	100
TH-P6+THIXON-520	100	100	100	100







(b) TH-P6+TH-OSN-2



(c) TH-P6+THIXON-520

图2 橡胶与铝基材剥离后的粘接面示意

Fig. 2 Bonding surfaces of aluminum substrate after rubber peeling

从表1和图2可见,对于3种粘合剂组合,与橡胶剥离后铝基材粘接面的附胶率均为100%,即3种粘合剂与橡胶匹配。结合成本,考虑粘合剂组合选用TH-P6+MEGUM538。

#### 2.2 硫化工艺对减震衬套粘接性能的影响

在橡胶与金属基材热硫化粘接过程中,硫化三要素——温度、时间、压力中任何一个要素选择不当都会造成橡胶与金属基材的粘接失效[12-14]。本工作选用TH-P6+MEGUM538粘合剂组合为研究对象,研究硫化三要素对减震衬套粘接性能的影响。因1<sup>#</sup>配方胶料在注胶压力15 MPa和硫化温度155 °C下的 $t_{10}$ 为1.75 min, $t_{90}$ 为4.83 min,因此选定注胶压力为15 MPa、硫化温度为155 °C、硫化时间为500 s,再在此基础工艺上做上、下限验证,具

体硫化工艺见表2,对表2数据的透视分析结果见 图3,破坏后的产品见图4。

表2 硫化工艺对减震衬套粘接性能的影响

Tab. 2 Effect of vulcanization processes on bonding properties of shock absorber bushings

r · r							
工艺	注胶压力/	硫化温	硫化时	骨架附胶率/%			%
编号	MPa	度/℃	闰/s	1	2	3	平均值
1	15	150	400	10	10	10	10
2	18	155	400	10	20	30	20
3	21	160	400	30	30	40	33
4	18	150	500	30	40	30	33
5	21	155	500	40	50	50	47
6	15	160	500	15	15	15	15
7	21	150	600	40	40	30	37
8	15			30	30	30	30
9	18			30	30	30	30

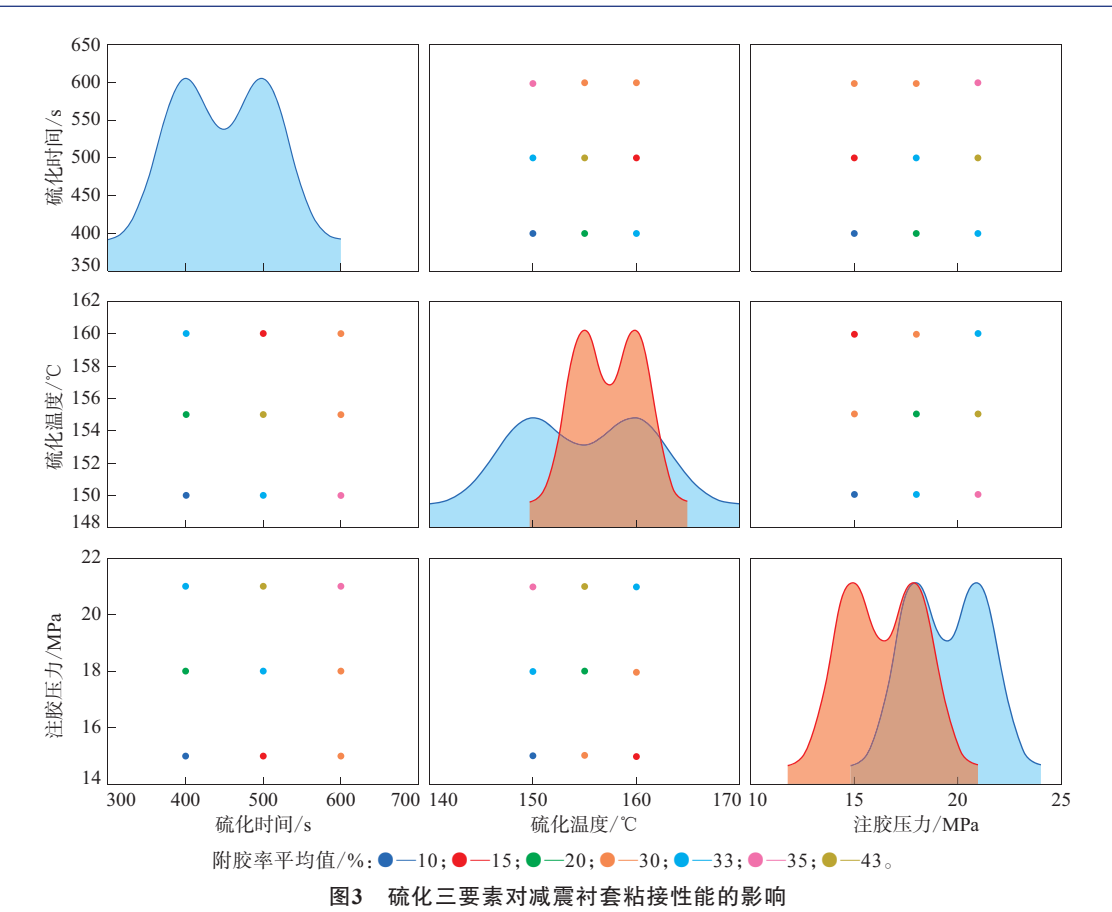


Fig. 3 Effect of three vulcanization elements on bonding properties of shock absorber bushings



图4 采用不同硫化工艺的减震衬套破坏后图片 Fig. 4 Pictures of damaged shock absorber bushings with different vulcanization processes

由表2及图3和4可见:大注胶压力和适当的硫化温度对粘接性能有利,但减震衬套的粘接性能仍然不能满足产品的技术要求;可以确定的是在注胶压力为21 MPa、硫化温度为155 ℃、硫化时间为500 s时,减震衬套骨架的附胶率最高。

# 2.3 胶料配方对减震衬套粘接性能的影响

通过调整硫化工艺不能解决减震衬套产品 粘接性能差的问题,因此需要对胶料配方进行优 化<sup>[15]</sup>。胶料配方对减震衬套骨架附胶率的影响如 表3所示(采用工艺5)。

表3 胶料配方对减震衬套骨架附胶率的影响 Tab.3 Effect of compound formulas on adhesion rates of shock absorber bushing frames %

配方编号 —	附胶率/%			
	样品1	样品2	样品3	平均值
1#	40	50	50	47
2#	40	50	50	47
3#	60	70	60	63

从表3可以看出,采用含胶率低的3<sup>#</sup>配方胶料, 减震衬套骨架的附胶率明显增大。

采用不同配方胶料的减震衬套破坏后的图片 见图5。可以看出,在同等硫化条件下,通过降低











(c) 3<sup>#</sup>配方

图5 采用不同配方胶料的减震衬套破坏后图片

Fig. 5 Pictures of damaged shock absorption bushings with different formula compounds

胶料含胶率可以不同程度地改善减震衬套破坏后 的表面。

胶料配方对减震衬套刚度性能和耐疲劳性能 的影响如表4所示。

表4 胶料配方对减震衬套刚度性能和耐疲劳性能的影响 Tab. 4 Effect of compound formulas on stiffnesses and fatigue resistances of shock absorber bushings

项 目 -		配方编号	
	1 #	2#	3#
静刚度/(N·mm <sup>-1</sup> )	3 353	2 814	2 999
动刚度/(N·mm <sup>-1</sup> )	5 764	5 664	6 209
动静刚度比	1.72	2.01	2.07
25万次疲劳后			
刚度损失/%	17.5	18.6	19.8
位移损失/%	18.6	21.0	21.4

从表4可以看出,2<sup>#</sup>和3<sup>#</sup>配方胶料的减震衬套疲劳后的位移损失大于20%,不满足产品需求。因此本研究采用1<sup>#</sup>配方胶料。

# 2.4 粘合剂对减震衬套粘接性能的影响

在先确定最佳硫化工艺、再确定优化胶料配方后,减震衬套的粘合性能还会随粘合剂的变化而变化。通常在减震衬套开发过程中会先锁定胶料配方和硫化工艺,然后选用合适的粘合剂与橡胶匹配。本研究采用1<sup>#</sup>配方胶料、硫化工艺5,粘合剂组合对减震衬套骨架附胶率的影响如表5

所示。

表5 粘合剂组合对减震衬套骨架附胶率的影响 Tab. 5 Effect of adhesive combination on adhesion rates of shock absorber bushing frames 9

粘合剂组合 -	附胶率/%			
	1	2	3	平均值
TH-P6+THIXON-520	10	10	10	10
TH-P6+TH-OSN-2	100	100	100	100
CH205+CH6411	40	40	50	43
CH205+CH6108	30	40	40	37
CH205+CH233X	30	30	40	33

由表5可见,采用TH-P6+TH-OSN-2粘合剂组合,减震衬套破坏后骨架的附胶率达100%, 因此本研究粘合剂组合最终选用TH-P6+TH-OSN-2。

# 3 结论

在底涂粘合剂为TH-P6、面涂粘合剂为TH-OSN-2、采用1<sup>#</sup>配方胶料、注胶压力为21 MPa、硫化温度为155 ℃、硫化时间为500 s条件下,制得的减震衬套具有良好的粘接性能。

# 参考文献:

[1] 孙彬. 胎圈钢丝涂层及橡胶配方对胎圈钢丝与橡胶黏合性能的影响[D], 青岛:青岛科技大学, 2016.

- [2] 刘晓庆,赵贵哲,刘亚青,等. 酚醛树脂/氯丁橡胶粘合剂的制备及 其对45<sup>#</sup>钢与天然橡胶粘接性能的影响[J]. 橡胶工业,2021,68(4): 269-275.
  - LIU X Q,ZHAO G Z,LIU Y Q,et al. Preparation of phenolic resin/CR adhesive and its effect on bonding properties to  $45^{\#}$  steel and NR[J]. China Rubber Industry, 2021, 68(4):269-275.
- [3] 王元霞. 轮胎胎面胶抗湿滑性能及其机理的研究[D]. 北京:北京化工大学,2011.
- [4] 刘锦春,姜尚奇,陈忠海,等. 橡胶与金属粘接性能的影响因素[J]. 粘接,2003,24(5):10-12.
  - LIU J C, JIANG S Q, CHEN Z H, et al. Factors of influencing bonding properties of rubber and metal[J]. Adhesion, 2003,24(5): 10-12
- [5] 王海,李东升,王璞. 异氰酸酯对橡胶与金属粘接性能的影响研究[J]. 冶金与材料,2020,40(2):41,43.
  - WANG H, LI D S, WANG P. Study on effect of isocyanate on adhesion between rubber and metal[J]. Metallurgy and Materials, 2020, 40(2):41,43
- [6] 马兴法. 金属与橡胶的硫化粘接及其性能研究[D]. 哈尔滨:哈尔滨工业大学,2001.
- [7] 袁宏达. 金属层与橡胶层粘接用耐高温粘合剂使用工艺研究及分析[J]. 科技展望,2015(7):159.
  - YUAN H D. Research and analysis on application process of high temperature resistant adhesive for bonding metal layer and rubber layer[J]. Science and Technology, 2015 (7):159.
- [8] 高守超,张康助,郭平军. 橡胶与金属的硫化粘接[J]. 化学与粘合, 2003,30(4):176-178.
  - GAO S C, ZHANG K Z, GUO P J. Rubber-metal bonding by vulcanization[J]. Chemistry and Adhesion, 2003, 30 (4):176-178.
- [9] 孟宪印,张会莲,胡娅婷. 氟橡胶配方硬度、硫化体系及焦烧特性对

- 其与金属粘接性能的影响[J]. 世界橡胶工业,2014,41(8):1-3. MENG X Y, ZHANG H L, HU Y T. Effect of hardness, curing system and scorch characteristics of fluororubber on the fluororubber
- [10] 何方科, 胡余优, 李剑, 等. 汽车衬套用不同硫化体系天然橡胶胶料的粘接性能[J]. 橡胶工业, 2021, 68(10): 760-763. HE F K, HU Y Y, LI J, et al. Adhesive properties of NR compounds

to tee iron bonding[J]. World Rubber Industry, 2014, 41 (8): 1-3.

- with different vulcanization systems for automobile bushing[J]. China Rubber Industry, 2021, 68 (10): 760–763.
- [11] 唐贤玉. 三管结构的橡胶衬套总成[P]. 中国: CN 207485863U, 2018-06-12
- [12] 梁煜, 霍春亮, 周贵祥. 橡胶与金属热硫化粘接工艺的探讨[J]. 大科技, 2022(19):121-123.
  - LIANG Y, HUO C L, ZHOU G X. Discussion on bonding process of rubber and metal by hot vulcanization[J]. Super Science, 2022 (19):121-123.
- [13] 刘金萍,高奇星. 橡胶硫化及钢丝绳芯胶带胶接的基本知识[J]. 煤炭技术,2007,26(9):124-126.
  - LIU J P, GAO Q X. Vulcanization and steel wire core adhesive tape glued joint elementaryknowledge[J]. Coal Technology, 2007, 26 (9): 124–126
- [14] 李光辉. 钢丝绳芯带式输送机硫化工艺研究[J]. 现代矿业,2015,31(3):194-197.
  - LI G H. Study on vulcanization process of steel wire rope core belt conveyor[J]. Modern Mining, 2015, 31 (3):194–197.
- [15] 黄蓉蓉,颜录科,李力,等. 丁腈橡胶与金属粘接的研究进展[J]. 粘接,2015,36(9):87-91.
  - HUANG R R, YAN L K, LI L, et al. Advance in bonding metal to nitrile rubber[J]. Adhesion, 2015, 36 (9):87–91.

收稿日期:2022-08-16

# Improvement on Bonding Property of Three Frame Shock Absorption Bushing

HE Fangke, HU Yuyou, DING Binxuan, LI Jian (Jianxin Zhao's Group Corp., Ninghai 315600, China)

**Abstract:** The bonding property of three frame shock absorbing bushing was improved from three aspects: adhesive type, vulcanization process and compound formula design. The results showed that when primer adhesive TH-P6 and surface coating adhesive TH-OSN-2 were chosen, the carbon black N330 compound formula was used, and the optimum vulcanization process was determined as follows: the injection pressure was 21 MPa, the vulcanization temperature was 155 °C, and the vulcanization time was 500 s, the three frame shock absorbing bushing had good bonding property.

**Key words:** three frame; shock absorbing bushing; bonding property; adhesive; vulcanization process; compound formula